Abschlussbericht an das BMBF

Thema des Teilvorhabens:

Sensor- und Systemintegration sowie klinische Erprobung eines ungeschirmten fetalen MKG-Systems

als Bestandteil des Verbundvorhabens

"Neuartige magnetisch ungeschirmte Signalaufnahme für die klinische Analyse der fetalen Herzfrequenzvariabilität" (Akronym: NESSI)

Zuwendungsempfänger: Leibniz-Institut für Photonische Technologien e.V.

Förderkennzeichen: 01DJ12111B

Laufzeit des Vorhabens: 01.02.2013 – 31.07.2014

Berichtszeitraum: 01.02.2013 – 31.07.2014

1. Aufzählung der wichtigsten wissenschaftlich-technischen Ergebnisse und anderer wesentlicher Ereignisse

AP100 Konzeption

Ziel des AP war zum einen die Erstellung des Systemkonzeptes, d.h. der Supraleitenden Quanteninterferenz-Detektoren (SQUID)-Sensoren, Antennen, Elektronik und dem Kryostat, und zum anderen eines Konzeptes für die Halterung des Sensorsystems, der Gantry. Das IPHT hat bei beiden aktiv mitgewirkt und sein *know-how* mit eingebracht. Insbesondere die Auswahl geeigneter Materialien der Gantry erfolgte unter Beteiligung des IPHT. Im Vorfeld des Aufbaus der Gantry hat das IPHT verschiedene Materialien und Farben für den Aufbau der Gantry magnetisch vermessen. Es wurden nur Materialien mit geringem Einfluss auf das Magnetfeld ausgewählt (< 5 pT_{PP}). Die Verbundfaserwerkstoffe des KVB in Chemnitz haben sich als geeignet herausgestellt.

AP200 Axiale Gradiometer

Ziel dieses AP ist die Entwicklung, Konstruktion und Test eines axialen Gradiometer-SQUID-Systems für die klinische Applikation.

Stand der internationalen Forschung sind drahtgewundene axiale Gradiometer bei denen auf einen Grundkörper u.a. aus Marcor, Glas, Glasfasermaterial, GFK ein dünner Draht aus Niob als Magnetfeldantenne aufgebracht wird. Typischerweise werden zylinderförmige Grundkörper verwendet, um Gradiometer erster oder zweiter Ordnung zu bauen. Durch unterschiedliche thermische Ausdehnungskoeffizienten, geometrische Ungenauigkeiten und parasitäre Schleifen in der Verschaltung haben diese Gradiometer oftmals keine ausreichende Unterdrückung homogener Magnetfeldkomponenten, auch Balance genannt. Das wird durch die Werte der Literaturstudie zu axialen Gradiometern in der Tabelle im Anhang demonstriert.

Die angestrebte Lösung in diesem Vorhaben ist ein spezieller würfelförmiger Grundkörper, aus Silizium (Si) hergestellt mit hoher mechanischer Genauigkeit (<2 μ m). Die beiden Antennen für das Gradiometer werden in Dünnschichttechnik hergestellt mit lithographischer Genauigkeit von < 0,3 μ m auf einem Si-Substrat. Der eigentliche SQUID-Stromsensor wird auf einem dritten Substrat hergestellt. Alle drei Substrate werden auf den Würfel geklebt und mittels einer supraleitenden Bondung zu einer supraleitenden Gradiometerantenne elektrisch verbunden. Der Sensor wird in Abb. 1 gezeigt. Für diese Sensoren wurden deswegen neue Designs er- und hergestellt, sowie die notwendigen Aufbau- und Verbindungstechnologien entwickelt.

Die neu entwickelten Sensoren wurden im Detail im Labor charakterisiert. Insbesondere die elektrischen Eigenschaften der SQUID und der Antennen wurde studiert.

In Vorbereitung der Labortests zur Evaluierung und Optimierung der axialen Sensoren im Vergleich zu den planaren Gradientensensoren hat das IPHT ein Referenzsystem mit planaren Gradiometern aufgebaut und getestet. Danach wurden die axialen Gradiometer in denselben Heliumkryostat parallel mit den planaren Gradiometern installiert. Unter anderem wurden sehr aufwändig die Rasuchspektren in der geschirmten Kammer des IPHT durchgeführt. Ein Beispielspektrum wird in der Abb. 2 gezeigt. Es wurden exzellente Rauschwerte um 25 fT/(cm·VHz) oberhalb von 1 kHz. Unterhalb 1 kHz ist noch ein Rauschbeitrag von normalleitendem Material (z.B. Kupfer) in der Nähe des Sensors

zu sehen. Der Rest des niederfrequenten Rauschens sind Beiträge, die von nicht ausreichender Schirmung der Kammer verursacht werden. Diese Werte für das Rauschen sind besser als alle in der Literatur angegebenen für vergleichbare Abstände der Magnetfeldantennen. Die Resultate des Rauchens können mit den Werten in der Tabelle im Anhang verglichen werden.

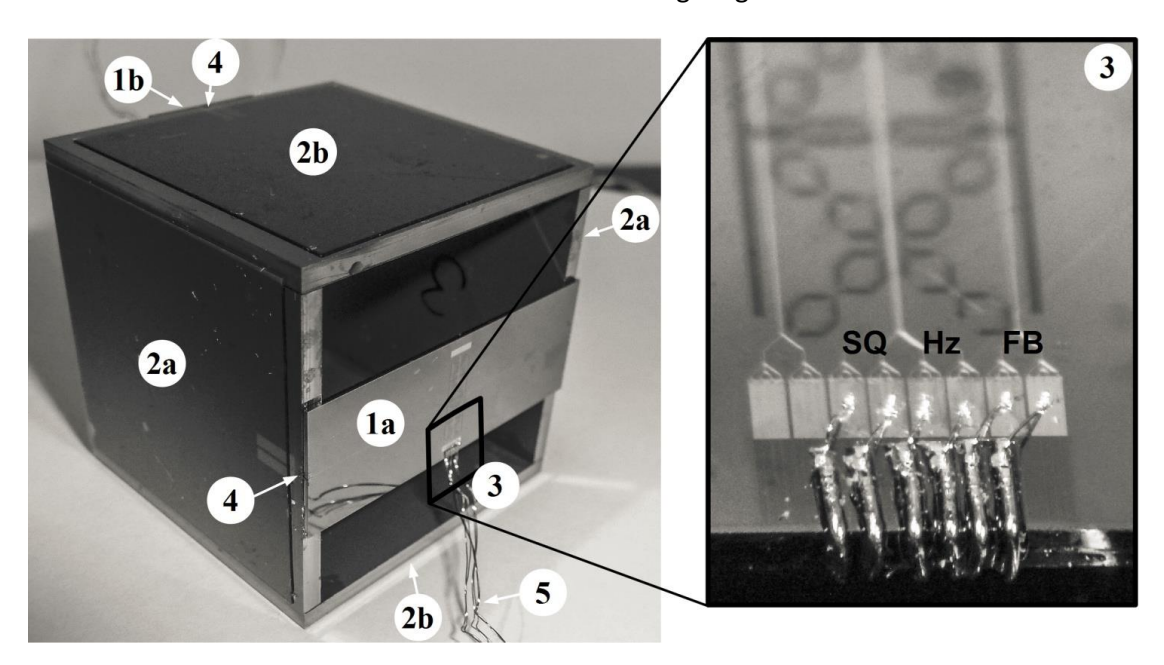


Abb. 1: Gradiometerwürfel mit zwei axialen Gradiometern (links) und Anschlüsse des zugehörigen Stromsensor-SQUIDs (rechts).

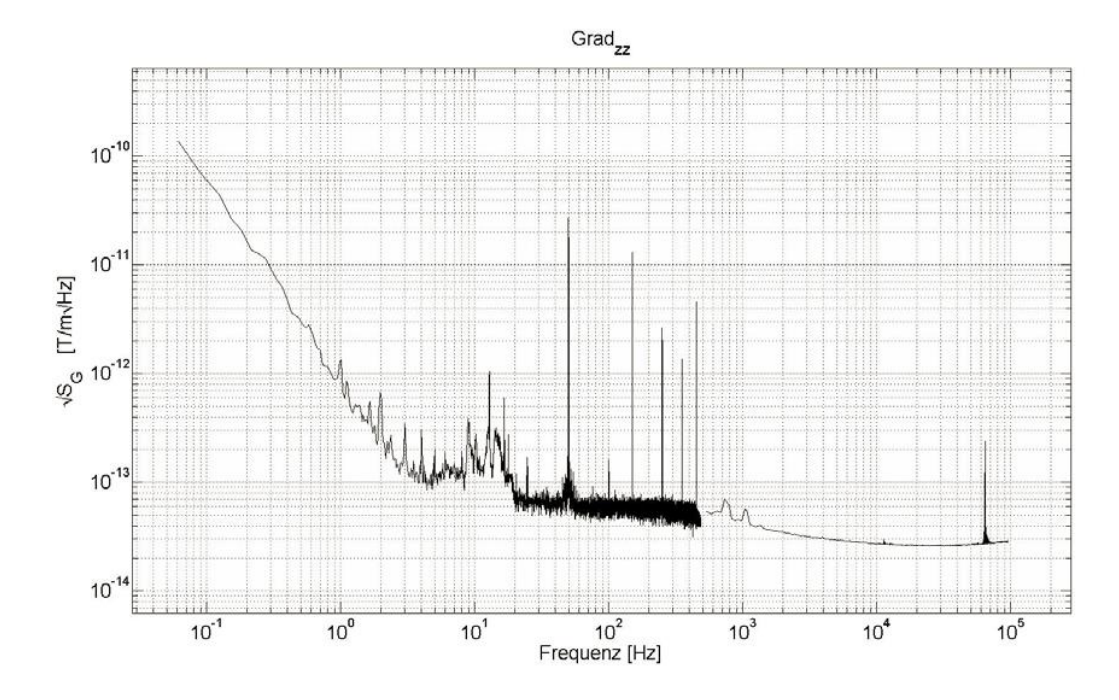


Abb. 2: Typisches Spektrum des Gradientenrauschens des Systems aus SQUID-Elektronik und axialem Gradiometer $\partial B_Z/\partial z$.

Im Anschluss an diese Arbeiten wurden mit diesem Aufbau im Kryostat, der auch noch drei orthogonale Magnetometer-SQUIDs enthielt, verschiedenste Labor- und auch Feldmessungen durchgeführt, um die Leistungsfähigkeit und insbesondere die Balance zu studieren. Die bestimmte Balance von etwa $<0.5\cdot10^{-3}$ ist vergleichbar und besser als die in Literatur angegebenen für

Drahtantennen. Im Vergleich zu den planaren Gradiometern sind diese Sensoren einen Faktor 10 bis 50 schlechter aber immer noch ausreichend für den Betrieb in der Klinik.

Die axialen Sensoren standen vor dem Ende des Vorhabens für weitere Tests zur Verfügung. Für die Evaluierung müssen die Sensoren in einen für biomagnetische Messungen geeigneten Kryostat zu installiert werden Die eigentlich Evaluierung der neuen Sensoren in der Klinik und erste biomagnetische Messungen werden hauptverantwortlich vom russischen Partner in dem Vorhaben durchgeführt.

AP300 Aufbau der Gantry

Entsprechend der im AP100 definierten Aufgabenstellung der Gantry wurde ein neues Konzept gewählt, bei der ein von einer zentralen Säule abstehender Arm den Kryostaten mit den Sensoren hält. Die zentrale Säule wird auf einem flachen Fuß mit einer entsprechenden Fläche zur Garantie der Standsicherheit befestigt.

Die Konstruktion wurde von der SUPRACON in enger Abstimmung mit dem IPHT vorangetrieben und ermöglicht einen sehr flexiblen Einsatz durch vielfältige Einstellmöglichkeiten sowie einen großen räumlich freien Bereich für den Probanden.

Die notwendigen Materialen wurden ausgewählt und mit entsprechender Sicherheit ausgelegt. Die Teile der Gantry wurden gefertigt, montiert und gemeinsam getestet.

Im Rahmen der mechanischen Tests zeigte sich weiteres Optimierungspotential insbesondere bei der Höhenverstellung, was ein deutlich erhöhtes Risiko für die Probanden / Patienten verursacht. Die Halterung muss unter diesem Gesichtspunkt noch überarbeitet werden, wodurch die klinische Testung des Systems zurückgestellt wurde.

AP400 Systemintegration

Zur Evaluation der Nutzbarkeit der neuen Gantry wurden verschiedene Tests mit dem vorbereiteten Messsystem mit planaren Gradiometer-SQUIDs erster Ordnung durchgeführt. Der Kryostat mit den Sensoren wurde dazu an der Gantry befestigt. Als Vergleich wurden dieselben Messungen mit der derzeit genutzten Laborhalterung herangezogen.

Zunächst wurde die jeweilige Halterung mechanisch angeregt und die Relaxation vermessen. Die folgenden beiden Abbildungen zeigen ein repräsentatives Beispiel für den Vergleich der zeitlichen Evolution der Signale des elektronischen Gradiometers zweiter Ordnung, die Differenz der Signale zweier planarer Gradiometer-SQUIDs. Nach der mechanischen Anregung nach etwa 5 Sekunden folgt eine Oszillation, deren Amplitude abklingt. Bei der Laborhalterung links kommt das System nach etwa 20 Sekunden zur Ruhe. Bei der neuen Gantry ist die Oszillation erst nach etwa 70 Sekunden abgeklungen.

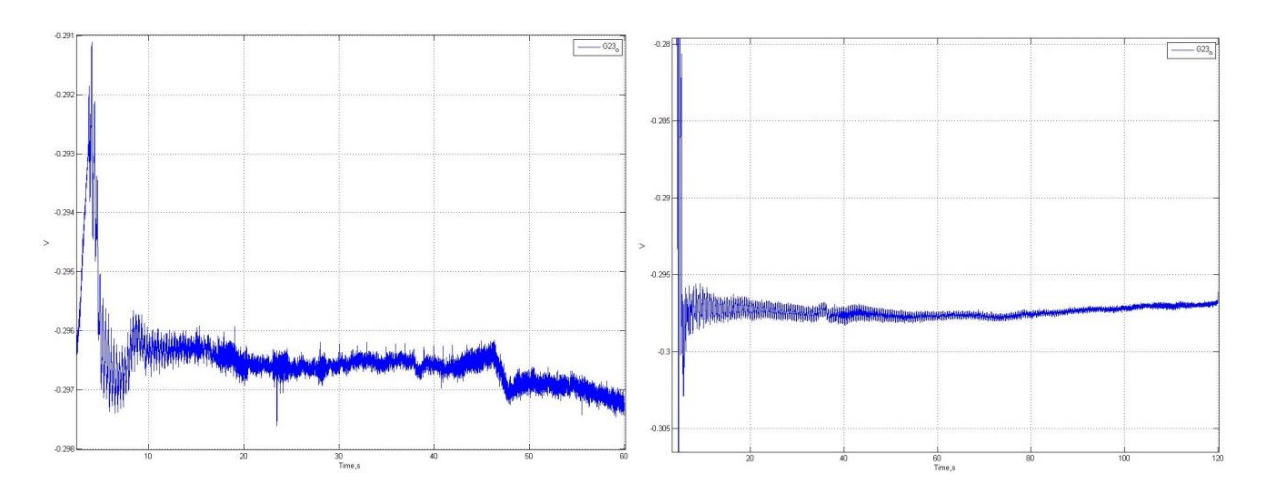


Abb. 3: Relaxationssignale eines Gradiometers zweiter Ordnung für die Laborhalterung links und die neue Gantry rechts.

Die Zeitsignale wurden mit Hilfe der Fouriertransformation in die zugehörigen Rauschspektren überführt. Der linke Graph in Abb. 2 zeigt die Spektren für die Signale des zweiten Gradiometers im System für die Laborhalterung in Blau und die neue Gantry in Rot. Das hochfrequente Rauschen ist vergleichbar.

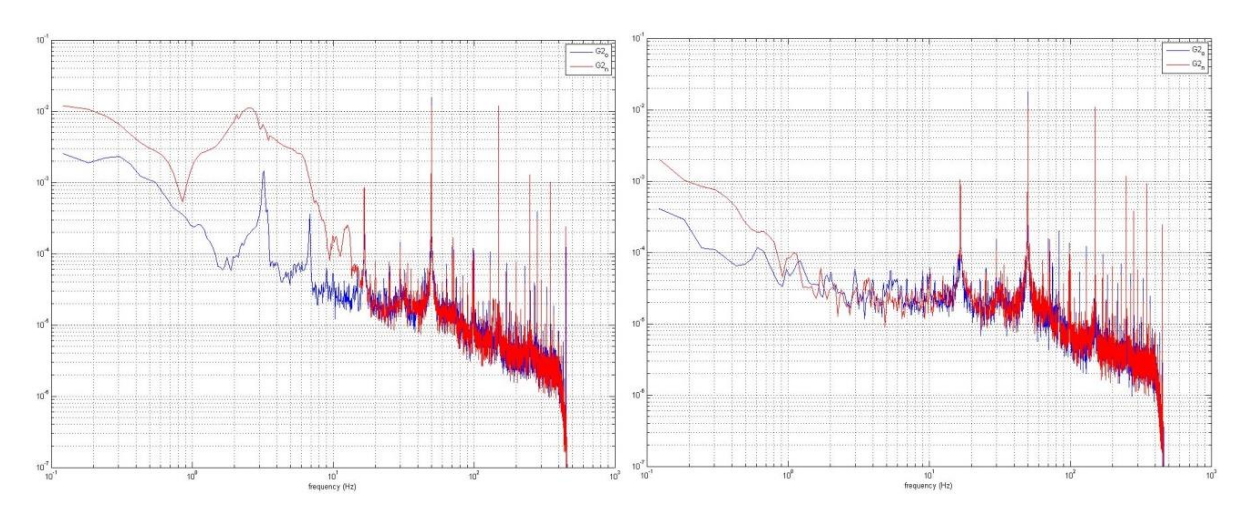


Abb. 4: Spannungsrauschspektren in V/Hz^{1/2} für die Signale des Gradiometers 2 für die in Abbildung 1 gezeigten Zeitreihen.

Deutlich sind im Frequenzbereich unter 10 Hz erhöhte Signalamplituden für die Sensorsignale mit der Gantry zu erkennen (rote Kurve). Im Vergleich dazu sind zwei spektrale Peaks bei etwa 3,2 Hz und 6,9 Hz in der blauen Kurve für die Laborhalterung zu erkennen. Ein ähnliches Verhalten zeigt sich für die Spektren im rechten Graph für den abgeklungenen Zustand zu erkennen. Für Frequenzen unterhalb von 1 Hz ist ein erhöhtes Rauschspektrum für das Sensorsystem befestigt an der Gantry zu erkennen (rote Kurve).

Es zeigte sich anhand dieser Abbildungen, dass eine Überarbeitung der neuen Gantry erforderlich ist, um die gleichen Rauschwerte bei stark verbesserter Funktionalität zu realisieren. Die Integration einer Dämpfung in der Gantry muss eruiert werden, stellt jedoch im Vergleich zu den erforderlichen mechanischen Lösungen der Gantry eine nachrangige Problematik dar und wird erst mit der Realisierung eines neuen Konzeptes weiterverfolgt.

AP500 Dokumentation

Alle aktuellen Ergebnisse des Projektes wurden dokumentiert. Das umfasst das Lastenheft und die Dokumentation von AP100, AP200, des Aufbaus und der Evaluation der Gantry (AP300 und AP400).

2. Vergleich des Standes des Vorhabens mit der ursprünglichen Arbeits-, Zeit- und Ausgabenplanung

Der geplante Finanzierungs- und Zeitplan wurde umgesetzt. Hinsichtlich der Ausgabenplanung wurde das Projekt bereits abgeschlossen. Die klinischen Tests durch den russischen Partner wurden auf Grund eines erhöhten Risikos für die Probanden / Patienten zurückgestellt.

3. Aussichten für die Erreichung der Ziele des Vorhabens innerhalb des angegebenen Abrechnungszeitraumes

Im Rahmen des Vorhabens wurden vom IPHT sehr erfolgreich neue hochempfindliche axiale Gradiometer-SQUIDs entwickelt und deren Erprobung im Detail durchgeführt. Die Evaluierung der Leistungsfähigkeit zur Detektion biomagnetischer Signale mittels Phantom wurde erfolgreich abgeschlossen.

Die Durchführung der klinischen Tests durch den russischen Partner im Rahmen des Projektes wurde auf Grund des Risikofaktors der Benutzung der neuen Gantry im klinischen Umfeld zurückgestellt.

4. Aktuelle vorhabensrelevante Ergebnisse von dritter Seite

(Darstellung der aktuellen Informationsrecherchen nach Nr. 2.1 BNBest-BMBF 98)

Nein.

5. Notwendige Änderungen in der Zielsetzung

Für den Aufgabenbereich des IPHT haben sich während des Verbundvorhabens keine Änderungen in der Zielsetzung ergeben.

Durch das erhöhte Risiko für die Probanden wurden die Tests in der klinischen Umgebung nicht durchgeführt. Da die erforderliche grundlegende Überarbeitung des Konzeptes für die Gantry nicht im Rahmen dieses Projektes realisierbar ist, konnte die klinische Evaluierung nicht mehr in der Projektlaufzeit durchgeführt werden. Die Messungen der Supracon legen jedoch nahe, dass bei entsprechender geeigneter Konzeption einer neuen Gantry ein klinischer Einsatz schnell möglich sein könnte. Die Verfolgung dieses Ansatzes liegt jedoch ausschließlich beim Partner Supracon.

6. Jährliche Fortschreibung des Verwertungsplans

Im Projekt haben sich keine Änderungen zum vorgelegten Verwertungsplan im Projektantrag ergeben.

7. Anhang: Literaturstudie zu axialen Graiometern

Gruppe	Konzept/Material	Parameter
Bick et al.:	Flexibler Flußtransformator	Basislänge: 35mm
Lindfield, Australien	(YBCO auf Hastelloy-Tape)	Balance: > 10 ⁵
[Bic04],[Bic05]	induktiv an Feldaufnahmespulen	(alle Richtungen)
	eines HTS SQUID-Magnetometer	$\sqrt{S_{\Phi}}$: 45 μ Φ_0/\sqrt{Hz} (weiß)
	gekoppelt und mit supraleitender Schirmung abgeschirmt	$\sqrt{S_G}$: 33 pT/m \sqrt{Hz}
Borgmann et al.:	Elekronisches Gradiometer aus 2	[Bor99]
Juelich/Bonn	HTS rf-SQUID-Magnetometern und	Basislänge: 50 mm
[Bor97a],	[2]einem Referenz-Magnetometer	Balance: >200 - >1500 (je
[Bor97b],[Bor99]	zur Balancierung oder [3]	nach Position des Referenz-
	Balancierung mittels verstellbarer	Magnetometers)
	supraleitender Platte	$\sqrt{S_B}$: (Magnetom. A,B,Ref.)
		94 fT/ $\sqrt{\text{Hz}}$, 86 fT/ $\sqrt{\text{Hz}}$,
		$1300 \mathrm{fT}/\sqrt{\mathrm{Hz}}$
		[Bor97a]
		Basislänge: 75 mm
		Balance: $> 10^4$ für 3-100 Hz
		$\sqrt{S_{\Phi}}$: 70 $\mu\Phi_0/\sqrt{Hz}$
		für 200MHz (<i>tank-</i>
		frequency)
		$\sqrt{S_B}$: 44-53 fT/ \sqrt{Hz}
		$\sqrt{S_G}$: 0,95-1,3 pT/m \sqrt{Hz}
		[Bor97b]
		Basislänge: 70-80 mm
		Balance: $> 10^4$
		$\sqrt{S_{\Phi}}$: 70 $\mu\Phi_0/\sqrt{Hz}$
		$\sqrt{S_B}$: 44-53 fT/ \sqrt{Hz}
		$\sqrt{S_B}$ (System): 100 fT/ \sqrt{Hz}
		$\sqrt{S_G}$ *:1,25-1,43 pT/m \sqrt{Hz}
Tavrin et al.:	[Tav93a],[Tav93b]	Basislänge: 60 mm
Juelich/Bonn	Elektronisches Gradiometer aus 2	Balance: > 10 ⁴
[Tav93a],[Tav93b],[Tav94]	HTS (YBCO) rf SQUID	(- () () ()
	Magnetometern, Flußfokusierer (flux focusers) benutzt	$\sqrt{S_{\Phi}}$ (Mag. A,B):
	Ulux Jocusers J Dellutzt	$200 \mu \Phi_0 / \sqrt{\text{Hz}}$
		260 μΦ ₀ /√Hz
		$\sqrt{S_B}$ (System): < 280
		fT/\sqrt{Hz}
		für f > 2 Hz
		$\sqrt{S_G}^*$: < 4,67 pT/m \sqrt{Hz}
	[Tav94]	Basislänge: 60 mm
	drei HTS rf SQUID-Magnetometer	Balance: < 3400
	bilden ein Gradiometer zweiter	$\sqrt{S_{\Phi}}$: 100 μ Φ_0/\sqrt{Hz}

	1 _ ,	
	Ordnung, auch Betrieb in als Gradiometer erster Ordnung möglich	$\sqrt{S_B}$ (System): < 170 fT/\sqrt{Hz} $\sqrt{S_G}^*$: < 2,83 pT/m \sqrt{Hz}
Yokosawa et al.: Tokyo, Japan [Yok94],[Yok01]	[Yok94] Direct feedback Gradiometer: Gradiometer bestehend aus Sensing- & Cancellationmagnetometer Material: Nb	a) Basislänge: 20mm $\sqrt{S_{\Phi}}: 4,5 \ \mu \Phi_0/\sqrt{Hz}$ $\sqrt{S_B} \text{ (System): } 33 \ \text{fT}/\sqrt{Hz}$ $\sqrt{S_G}^*: 1,65 \ \text{pT/m}\sqrt{Hz}$ b) Basislänge: 30 mm $\sqrt{S_{\Phi}}: 4,5 \ \mu \Phi_0/\sqrt{Hz}$ $\sqrt{S_B} \text{ (System): } 45 \ \text{fT/}\sqrt{Hz}$ $\sqrt{S_G}^*: 1,50 \ \text{pT/m}\sqrt{Hz}$
	[Yok01] Gradiometer aus 2 HTS (YBCO) SQUID Magnetometern, Verbindung von feedback- und compansation-coils der Magnetometer in Reihe über normalleitende Kabel	Basislänge: 40mm $\sqrt{S_B} \text{ (Mag. A,B):}$ $110 \text{ fT/}\sqrt{\text{Hz}}, 130 \text{ fT/}\sqrt{\text{Hz}}$ (weiß) $\sqrt{S_G}: 20 \text{ pT/m}\sqrt{\text{Hz}} \text{ für f = }$ 1Hz $\sqrt{S_G}: 4,3 \text{ pT/m}\sqrt{\text{Hz}} \text{ (weiß)}$
Faley et al.: Juelich/Bonn [Fal01],[Fal02]	Elektronisches Gradiometer aus 2 HTS dc-SQUID-flip-chip- Magnetometern	Basislänge: 100 mm $\sqrt{S_{\Phi}}$: $15 \mu \Phi_0 / \sqrt{Hz}$ $\sqrt{S_B}$: $< 10 \text{ fT} / \sqrt{Hz}$ $\sqrt{S_G}$: ca. $100 \text{ fT/m} \sqrt{Hz}$ für f $> 100 \text{ Hz}$
Lee et al.: Korea [Lee07],[Lee09a],[Lee09b]	[Lee07],[Lee09a],[Lee09b] Handgewickeltes Gradiometer (NbTi-Windungen auf FRP-Zylinder gewickelt {Fiberglas Reinforce Plastic}) und induktiv an DROS (Double Relaxation Oszillation SQUID) gekoppelt Material: NbTi, Nb/AlxOy/Nb Messung in abgeschirmten Raum	Basislänge: 50,70,100 mm $\sqrt{S_B}$ (System): 3,5 fT/ \sqrt{Hz} (weiß) $\sqrt{S_G}$ *: 70,50,35 fT/m \sqrt{Hz} (je nach Basislänge)
Knuutila, Tesche et al.: Helsinki, Finnland [Knu87],[Knu93]	Gradiometer aus einem asymmetrischen Flusstransformator (Nb- Windungen auf Keramik-Glas- Zylinder gewickelt) induktiv an dc- SQUID gekoppelt Material: Nb, Nb/Al _x O _Y /Nb System nur für abgeschirmte Räume	Basislänge: 60 mm Balance: 100 $\sqrt{S_{\Phi}} \text{ (nur SQUID):}$ $4-5 \ \mu \Phi_0 / \sqrt{\text{Hz}}$ $\sqrt{S_{\Phi}} \text{ (SQUID und}$ Flusstransformator): $16-20 \ \mu \Phi_0 / \sqrt{\text{Hz}}$ $\sqrt{S_B}: 5-6 \ \text{fT} / \sqrt{\text{Hz}}$ $\sqrt{S_G}^*: 83-100 \ \text{fT/m} \sqrt{\text{Hz}}$
Tilbrook et al.: Lindfield, Australien [Til04]	Flusstransformatorstruktur auf flexibeles supraleitendes Band geätzt/beschichtet und induktiv an HTS SQUID-Magnetometer	Basislänge: 35 mm $\sqrt{S_{\Phi}}$: $20 \ \mu\Phi_0/\sqrt{Hz}$ $\sqrt{S_G}$: $10 \ \text{pT/m}\sqrt{Hz}$ (nur Konzept, nicht

	1 1:	
	gekoppelt	realisiert)
	Material: YBCO	
**	(nur Konzept, nicht realisiert)	D : 1" 70
Haining et al.:	HTS Gradiometer aus	Basislänge: 79 mm Balance: 480
[Hai05]	"Dickschicht"-Film-	
	Feldaufnahmespulen (YBCO auf	$\sqrt{S_{\Phi}}$: 50 $\mu\Phi_0/\sqrt{Hz}$
	YSZ-Körper) induktiv an	$\sqrt{S_G}^*$: 7 pT/m \sqrt{Hz}
	Dünnschicht-YBCO-SQUID-	für f = 1kHz
	Magnetometer gekoppelt	
A 1 1 1	System magnetisch abgeschirmt	D : 1" 40
Adachi et al.:	Drei-Gradiometersystem aus 2	Basislänge: 48mm
Kanazawa,/Tokyo, Japan	orthogonalen planaren und 1	$\sqrt{S_B}$ (System): 3 fT/ \sqrt{Hz}
[Ada03]	axialen Gradiometer an 3 double-	(weiß)
	washer LTS-SQUIDs gekoppelt	$\sqrt{S_G}$ *: 63 fT/m \sqrt{Hz}
	Material: Nb-Technologie	
7hang at al.	Gemessen in abgeschirmten Raum Elektronisches Gradiometer aus	Ragiclänge, 200 mm
Zhang et al.:	vier Empfänger- und einem	Basislänge: 200 mm
Juelich/Bonn [Zha06]	Referenzmagnetometer (HTS-	$\sqrt{S_B}$ (System): 20-30
[Zhaoo]	SQUID-Magnetometer aus YBCO),	fT/√Hz
	jeweils elektronische Subtraktion	$\sqrt{S_G}$ *: 100-150 fT/m \sqrt{Hz}
	des Signales je eines	
	Magnetometers mit dem	
	Referenzmagnetometer	
	Gemessen in abgeschirmten Raum	
Yu et al.:	[Yu10]	Basislänge: 70 mm
Korea/Taiwan	Gradiometer aus Nb-	$\sqrt{S_B}$ (System): 3-4 fT/ \sqrt{Hz}
[Yu10]	Feldaufnahmespulen auf G-10-	$f\ddot{u}r f = 100 \text{ Hz}$
[]	epoxy -Körper gewickelt und	
	induktiv an DROS-SQUID gekoppelt	$\sqrt{S_G}^*$: 43-57 fT/m \sqrt{Hz}
Vodel, Mäkiniemi et al.:	Gradiometer (Nb- Windungen auf	Basislänge: 65 mm
FSU Jena/Helsinki,	"hard textil"- Körper) induktiv an	$\sqrt{S_{\Phi}}$ (SQUID): 2 $\mu\Phi_0/\sqrt{Hz}$
Finnland	SQUID-Magnetometer gekoppelt	$\sqrt{S_B}$ (SQUID): 0,7 fT/ \sqrt{Hz}
[Vod92]	Material: Nb, Nb/NbO _x /Pb/In/Au	•
	Fenstertyp Josephsonkonntakte	$\sqrt{S_B}$ (System): 2 fT/ \sqrt{Hz}
		$\sqrt{S_G}$ *: 31 fT/m \sqrt{Hz}
Chinone et al.:	Gradiometer aus flexibler	$\sqrt{S_{\Phi}}$ (SQUID System, ohne
Japan	Feldaufnahmespule (Pb-Sn-	Feldaufnahmespule):
[Chi93]	Gemisch auf flexible FPC- {Flexible	16,7 $\mu\Phi_0/\sqrt{\text{Hz}}$ (weiß)
	Print Circuit aus Polymide oder	(a) flexible
	Polyester} beschichtet und damit	Feldaufnahmespule
	FRP-Körper umwickelt) und	Basislänge: 60 mm
	induktiv an dc-SQUID mit großen	Balance: <340
	β_L = 4,4 gekoppelt	$\sqrt{S_B}$ (System): 20 fT/ \sqrt{Hz}
	Neue Bonding-Technologie	•
	basierend auf "flip-chip-bonding"	(weiß)
	Gemessen in abgeschirmten Raum	$\sqrt{S_G}^*$: 330 fT/m \sqrt{Hz}
		(b) "handgewickelte"
		Feldaufnahmespule (Nb-Ti)
		Basislänge: 50 mm

		$\sqrt{S_B}$ (System): 23 fT/ \sqrt{Hz}
		(weiß)
		$\sqrt{S_G}^*$: 460 fT/m \sqrt{Hz}
Kim et al.:	Elektronisches Gradiometer aus 2	Basislänge: variabel 30-80
Korea/Taiwan	HTS-SQUID-Magnetometern (YBCO	mm
[Kim03]	auf SrTiO ₃)	Balance: >50
	(kann in unabgeschirmter	$\sqrt{S_B}$ (System):
	Umgebung operieren)	$0.45, 1.5, 12 \text{ pT}/\sqrt{\text{Hz}}$
	(digitale Filterungsmethode)	für f = 1 Hz
		(nach Ort der Messung:
		abgeschirmter, leicht
		abgeschirmter,
		unabgeschirmter Raum)
Liao et al.:	[Lia03]	Basislänge: 80 mm
Taiwan	Elektronisches Gradiometer aus 2	$\sqrt{S_B}$ (SQUID-Mag.):
[Lia03]	HTS rf-SQUID-Magnetometern	300 fT/ $\sqrt{\text{Hz}}$ (weiß)
	(M900 Jülich SQUID)	$0.5-1 \text{pT}/\sqrt{\text{Hz}} \text{für f} = 1 \text{Hz}$
		$\sqrt{S_B}$ (System): 4 pT/ \sqrt{Hz}
		$\sqrt{S_G}^*$: 50 pT/m \sqrt{Hz}
Juelicher SQUID GmbH:	Elektronisches Gradiometer aus 2	Basislänge: variabel 60-100
[Jue12]	HTS rf-SQUID-Magnetometern	mm
[] [] []	Kommerziell	$\sqrt{S_B}$ (je SQUID-Mag.):
		30 fT/ $\sqrt{\text{Hz}}$ (weiß)
		für f > 30 Hz
		$\sqrt{S_G}$ *: 0,6-1,0 pT/m \sqrt{Hz}
Tsukada et al.:	Gradiometer aus	Basislänge: 50 mm
Japan	Flusstransformator (Nb	$\sqrt{S_{\Phi}}$ (System): 2,14
[Tsu94]	beschichtet auf Substrat, auf 3D	$\mu\Phi_0/\sqrt{\text{Hz}}$ (weiß)
	Struktur [Glasstab]) induktiv an	10,0 μΦ ₀ / $\sqrt{\text{Hz}}$ für f = 1 Hz
	TTS SQUID gekopplt, SQUID mittels	$\sqrt{S_B}$ (System): 8,6 fT/ \sqrt{Hz}
	Haftharz an Glasstab geklebt	(weiß)
	Material: Nb, Nb/AlO_x/Nb	40 fT/ $\sqrt{\text{Hz}}$ für f = 1 Hz
		$\sqrt{S_G}$ *: 172 fT/m \sqrt{Hz} (weiß)
		•
Egny et al .	Elektronisches Gradiometer aus	8,0 fT/m $\sqrt{\text{Hz}}$ für f = 1 Hz
Espy et al.: Los Alamos, USA	zwei HTS SQUID-Magnetometer	Basislänge: 10 mm Balance: (a) 2000, (b) 1000
[Esp98]	über zwei Methoden (a,b)	für f = 20 Hz
[556.0]	realisiert:	$\sqrt{S_{\Phi}}$ (SQUID): 8 $\mu\Phi_0/\sqrt{Hz}$
	(a): "Parallel noise cancellation":	$\sqrt{S_B}$ (System):
	Subtraktion des Hintergrundfeldes	•
	vom Signal des Sensorsquids	(a) 190 fT/ $\sqrt{\text{Hz}}$
	mittels Summenverstärkers	(b) 230 fT/ $\sqrt{\text{Hz}}$
	(b): "Series noise cancellation":	$\sqrt{S_G}^*$:
	Hintergrund-Sensor-Signal wird	(a) 19 pT/m√ <u>Hz</u>
	mittels Verstärker invertiert, dann	(b) 23 pT/m√Hz

	in Magnetfeld konvertiert und in Sensorsquid induziert	
Lekkala et al.: Tampere, Finnland [Lek84]	Gradiometer aus einem asymmetrischen Flusstransformator (dünner Nb- Draht auf Fiberglaskörper gewickelt) induktiv an TTS rf- SQUID gekoppelt Ohne zusätzliche Balancierung	Basislänge: 160 mm Balance: 10100 $\sqrt{S_{\Phi}}$ (SQUID): $22 \mu \Phi_0 / \sqrt{Hz}$ (weiß) $\sqrt{S_{\Phi}}$ (System): $43 \mu \Phi_0 / \sqrt{Hz}$ (weiß) $\sqrt{S_B}$ (System): $105 \text{ fT} / \sqrt{Hz}$ (weiß) $\sqrt{S_G}^*$: $656 \text{ fT/m} \sqrt{Hz}$
Koch et al. New York, USA [Koc93]	Elektronisches Gradiometer aus zwei SQUID-Magnetometern und einem zusätzlichen Referenz-Magnetometer SQUID: sowohl TTS dc-SQUID-Magnetometer (a) als auch HTS dc-SQUID-Magnetometer (b) getestet	Basislänge: 248 mm $\sqrt{S_{\Phi}}$ (System): (a) 10 $\mu\Phi_0/\sqrt{Hz}$ (weiß) (b) 48 $\mu\Phi_0/\sqrt{Hz}$ (weiß) $\sqrt{S_G}$: (a) 1 pT/m \sqrt{Hz} (b) 100 pT/m \sqrt{Hz}
Clem et al.: USA [Cle01]	TSG (three-sensor-gradiometer) aus sechs HTS-SQUID-Magnetometern (YBCO) auf einem Einkristall-Silikonstab zusätzliche Balancierung durch Cu-Spulen welche durch drei Fluxgatemagnetometer gesteuert werden zusätzliche elektronische Balancierung	Basislänge: 330 mm Balance: $3,3 \cdot 10^5$ $\sqrt{S_{\Phi}}$ (je SQUID- Magnetometer): < $2,2 \mu \Phi_0 / \sqrt{Hz}$ @ f > 10kHz > $5,7 \mu \Phi_0 / \sqrt{Hz}$ für f = 1 Hz $\sqrt{S_G}$: (a) ohne Schirmung, stationär $800 \text{fT/m} \sqrt{Hz}$ für f = $0,1 \text{ Hz}$ (b) in nichtmetallischem Kryostaten $3 \text{pT/m} \sqrt{Hz}$ für f = $0,1 \text{ Hz}$ (c) ohne Abschirmung, in Bewegung $30 \text{pT/m} \sqrt{Hz}$ für f = $0,1 \text{ Hz}$
Vrba et al.: CTF, Kanada [Vrb93],[Vrb99]	[Vrb99] Synthetisches 151-Kanal-Gradiometer-System aus 151-Sensing-Channels (Magnetometer oder Gradiometer [axiale hier verwendet, aber auch planare mgl.]) und Referenzsystem, welche durch Subtraktion als Gradiometer höherer Ordnung wirken (1st, 2nd, 3rd order mgl.) (für Betrieb in abgeschirmten Räumen konzipiert) SQUID: s. [Vrb93]	Basislänge: 50 mm $\sqrt{S_{\Phi}} \text{ (SQUID): < 10}$ $\mu\Phi_0/\sqrt{Hz} \text{ für } f > 1 \text{ Hz}$ (weiß) möglich $\text{ (gemessen: 4-8 } \mu\Phi_0/\sqrt{Hz}\text{)}$ $\sqrt{S_B} \text{ (System):}$ $> 5 \text{ fT}/\sqrt{Hz} \text{ für } f > 2 \text{ Hz}$ $> 7 \text{ pT}/\sqrt{Hz} \text{ für } f = 0,1 \text{ Hz}$ $\text{ (in abgeschirmten Raum und Rauschunterdrückung)}$ $\sqrt{S_G}^*: 100 \text{ fT/m}\sqrt{Hz} \text{ @}$ $f>1 \text{ Hz}$ $140 \text{ pT/m}\sqrt{Hz} \text{ für } f = 0,1 \text{ Hz}$

	[Vrb93] 64-Kanal-dc-SQUID- Biomagnetometer-System aus 64 symmetrischen Gradiometern (Sensing-Channels) und Referenzsystem (Magnetometer oder Gradiometer erster Ordnung), welche durch Subtraktion von Sensing- und Referenzsignal als Gradiometer höherer Ordnung wirken (1st, 2nd, 3rd order mgl.) (Betrieb in unabgeschirmter Umgebung, "Spatiale- Filterung" mittles Gradiometer höherer Ordnung) Material: SQUID: Nb, Nb/Al ₂ O ₃ /Nb (JJ) Flusstransformator: Nb ("handgewickelt") auf Keramik- Körper	Basislänge: 50 mm $\sqrt{S_{\Phi}} \text{ (SQUID): } < 10 \ \mu \Phi_0 / \sqrt{\text{Hz}} \text{ @ f> 1 Hz} \text{ (weiß) möglich (gemessen: } 4-8 \ \mu \Phi_0 / \sqrt{\text{Hz}} \text{)} $ $\sqrt{S_B} \text{ (pro Channel): } $ ca. 10 fT/ $\sqrt{\text{Hz}}$ (unabgeschirmt, aber Rauschunterdrückung) $\sqrt{S_G}^* : \text{ca. 200 fT/m} \sqrt{\text{Hz}}$
Drung et al.: PTB, Berlin [Dru91]	Elektronisches Gradiometer aus zwei TTS dc SQUID- Magnetometern	Basislänge: 200 mm $\sqrt{S_B}$ (System): 14 fT/ \sqrt{Hz} für f = 1 Hz 540 fT/ \sqrt{Hz} für f = 0,1 Hz $\sqrt{S_G}$ *: 70 fT/m \sqrt{Hz} für f = 1 Hz 270 fT/m \sqrt{Hz} für f = 0,1 Hz
Foglietti et al.: Rom, Italien [Fog91]	Hybrid Multikanal-System aus 16 axialen und 12 planaren Gradiometern Sensor: Nb/PbAuIn dc-SQUID (IBM)	Basislänge: 85 mm $\sqrt{S_{\Phi}} \text{ (SQUID):}$ $1,7 \ \mu \Phi_0 / \sqrt{\text{Hz}} \text{ (weiß)}$ $2 \ \mu \Phi_0 / \sqrt{\text{Hz}} \text{ für } f = 1 \text{ Hz}$ $\sqrt{S_B} \text{ (System): } 1 \ \text{fT} / \sqrt{\text{Hz}} \text{ für } f > 1 \text{ Hz}$ (theoretisch, nicht gemessen) $\sqrt{S_G}^* \text{: ca. } 12 \ \text{fT/m} \sqrt{\text{Hz}}$ für $f > 1 \text{ Hz}$ (theoretisch, nicht gemessen) $\text{(theoretisch, nicht gemessen)}$
Hoenig et al.: Erlangen [Hoe91]	Multikanal-System aus 37 Gradiometern induktiv an jeweils ein dc SQUID gekoppelt SQUID: intergriertes Nb-SQUID (Ketchent-Type) Flusstransformator: "flexible printed circuit"-Folie zu 3D- Struktur gefaltet und auf zylindrischen GEE- (glassfiber	Basislänge: 70 mm Balance: >200 (alle Richtungen) $\sqrt{S_{\Phi}} \text{ (SQUID+FLL):}$ $1,0-10 \ \mu\Phi_0/\sqrt{\text{Hz}}$ $\sqrt{S_B} \text{ (System): < 10 fT}/\sqrt{\text{Hz}}$ für f = 1 Hz10 kHz (bei paralleler Operation aller Kanäle)

	enforced epoxy) Körper gebondet (Betrieb mit moderater Schirmung)	$\sqrt{S_G}^*$: ca. 143 fT/m \sqrt{Hz} für f = 1 Hz10 kHz
Nowak et al.: Biomagnetisches Zentrum, Universitätsklinikum Jena [Now99]	Multikanal-System aus 16 assymetrischen Gradiometern induktiv an je ein TTS dc SQUID- Magnetometer gekoppelt Material: SQUID: Nb, Nb/NbO_x/Pb/In/Au (JJ) Flusstransformator: Nb (für Betrieb in abgeschirmten Räumen konzipiert)	Basislänge: ca. 30 mm (variiert 28,531,5 mm) Balance: 100 $\sqrt{S_{\Phi}}$ (SQUID): 4-6 $\mu\Phi_0/\sqrt{Hz}$ für f > 0,1 Hz (weiß) $\sqrt{S_B}$ (System): 20-25 fT/ \sqrt{Hz} (magnetisch abgeschirmt) $\sqrt{S_G}^*$: 635-877 fT/m \sqrt{Hz}

^{*:} nicht explizit im Text, sondern berechnet

8. Referenzen

- [Ada03] Adachi et al.; "Three dimensionally configured SQUID for biomagnetic measurement", Supercond. Sci. Technol. 16, S. 1442-1446, (2003).
- [Bic04] Bick et al.; "Axial HTC superconducting gradiometer with flexible flux transformer", APPLIED PHYSICS LETTERS Vol. 84, Nr. 26,S. 5347-5349, (2004).
- [Bic05] Bick et al.; "Highly Balanced Long-Baseline Axial Gradiometer Based on High-Tc-Superconducting Tape", IEEE TRANSACTIONS ON APPLIED SUPERCONDUCTIVITY, Vol. 15, Nr. 2, S. 765-768, (2005).
- [Bor97a] Borgmann et al.; "Electronic high-temperature radio frequency superconducting quantum interference device gradiometers for unshielded environment", Rev. Sci. Instrum. Vol. 68, S. 2730-2734, (1997).
- [Bor97b] Borgmann et al.; "Compensation techniques for high-temperature superconducting quantum interference gradiometers operating in unshielded environment", Rev. Sci. Instrum. Vol. 68, 3082-3084, (1997).
- [Bor99] Borgmann et al.; "Highly Balanced Gradiometersystems Based on HTS SQUIDs for the Use in Magnetically Unshielded Environment", IEEE TRANSACTIONS ON APPLIED SUPERCONDUCTIVITY, Vol. 9, Nr. 2, S. 3680-3683, (1999).
- [Chi93] Chinone et al.; "DC-SQUID System With Flexible Pick-Up Coil By A Novel Superconducting Technique", IEEE TRANSACTIONS ON APPLIED SUPERCONDUCTIVITY, Vol. 3, Nr. I, , S. 1898-1901, (1993);
- [Cle01] Clem et al.; "High-T_c SQUID Gradiometer for Mobile Magnetic Anomaly Detection", IEEE TRANSACTIONS ON APPLIED SUPERCONDUCTIVITY, Vol. 11, Nr. I, S. 871-875, (2001).
- [Dru91] Drung, D.; "DC SQUID system overview", Supercond. Sci. Technol. 4, S. 377-385, (1991).
- [Esp98] Espy et al. "Two methods for a first order hardware gradiometer using two high temperature superconducting quantum interference devices", Rev. Sci. Instrum. 69 .1., S. 123-129, (1998).
- [FalO1] Faley et al.; "Low Noise HTS dc-SQUID flip-chip Magnetometers and Gradiometers", IEEE TRANSACTIONS ON APPLIED SUPERCONDUCTIVITY, Vol. 11, Nr. 1, S. 1383 ff., (2001).
- [Fal02] Faley et al.; "Sensitive HTS DC-SQUID gradiometers for magnetic evaluation applications", Physica C 372–376, S. 217–220, (2002).
- [Fog91] Foglietti et al.; "28 channel hybrid system for neuromagnetic measurement", IEEE TRANSACTIONS ON MAGNETICS, Vol. 27, Nr. 2, S. 2959-2962, (1991).
- [Hai05] Haining et al.; "Single Sensor High-Temperature Superconducting Axial Gradiometer With Thick Film Pick-Up Loops", IEEE TRANSACTIONS ON APPLIED SUPERCONDUCTIVITY, Vol. 15, Nr. 2, S. 769-772, (2005).
- [Hoe91] Hoenig et al.; "Multi Channel DC SQUID Sensor Array For Biomagnetic Applications", IEEE TRANSACTIONS ON MAGNETICS, Vol. 27, Nr. 2, S. 2777-2785, (1991).
- [Jue12] Juelicher SQUID GmbH, Lankenstrasse 29, D-52428 Juelich, Germany, http://www.jsquid.com, (2012).
- [Kim03] Kim et al.; "Performance of High-Tc SQUID Magnetometers for Application in Biomagnetism", IEEE TRANSACTIONS ON APPLIED SUPERCONDUCTIVITY, Vol. 13, Nr. 2, S. 352-355, (2003).
- [Knu87] Knuutila, J., Tesche, C. et al.; "Large-area low-noise seven-channel dc SQUID

- magnetometer for brain research", Rev. Sci. Instrum. 58, S. 2145-2156, (1987).
- [Knu93] Knuutila J., et al.; "A 122-channel whole cortex SQUID system", IEEE TRANSACTIONS ON MAGNETICS, VOL. 29, S. 3315-3320, NO. 6, (1993).
- [Koc93] Koch et al.; "Three SQUID Gradiometer", Appl. Phys. Lett. 63 (3), S. 403-405, (1993).
- [Lee07] Lee et al.; "Multichannel MCG Systems with Optimum Combinations of Pickup Coils and Shielded Rooms", Proceedings of NFSI & ICFBI 2007, IEEE, 297, (2007).
- [Lee09a] Lee et al; "A high-sensitivity magnetocardiography system with a divided gradiometer array inside a low boil-off Dewar", Supercond. Sci. Technol. 22, (2009).
- [Lee09b] Lee et al.; "A whole-head magnetoencephalography system with a compact axial gradiometer structure", Supercond. Sci. Technol. 22, (2009).
- [Lek84] Lekkala et al.; "Multiplexed SQUID vector-magnetometer for biomagnetic research", J. Phys. E: Sci. Instrum., Vol. 17, S. 504-512, (1984).
- [Lia03] Liao et al.; "High-Tc-SQUID gradiometer system for magnetocardiography in an unshielded environment", Supercond. Sci. Technol. 16, S. 1426-1429, (2003).
- [Now99] Nowak et al.; "A 16-channel SQUID-device for biomagnetic investigations of small objects", Medical Engineering & Physics 21, S. 563–568, (1999).
- [Tav93a] Tavrin et al.; "A YBa2Cu3O7 Thin Film SQUID Gradiometer For Measurements IUnshielded Space", IEEE TRANSACTIONS ON APPLIED SUPERCONDUCTIVITY, Vol. 3, Nr. I, S. 2477-2480, (1993).
- [Tav93b] Tavrin et al.; "YBa2Cu3O7 thin film SQUID gradiometer for biomagnetic measurements", Appl. Phys. Lett., Vol. 62, S. 1824-1826, (1993).
- [Tav94] Tavrin et al.; "A second-order SQUID gradiometer operating at 77 K", Supercond. Sci. Technol., Vol. 7, S. 265-268, (1994).
- [Til04] Tilbrook et al.; "The design of a new concept HTSC axial gradiometer", Physica C 407, S. 1-9, (2004).
- [Tsu94] Tsukada et al.; "A Hybrid SQUID Gradiometer with 3-Dimensional Thin-Film Pick-Up Coils Fabricated Using an Excimer Laser", IEEE ELECTRON DEVICE LETTERS, Vol. 15. Nr. 1, S. 19-21, (1994).
- [Vod92] Vodel, W., Makiniemi, K.; "An ultra low noise DC SQUID system for biomagnetic research", Meas. Sci. Technol. 3, S. 1155-1160, (1992).
- [Vrb93] Vrba et al.; "Whole Cortex, 64 Channel SQUID Biomagnetometer System", IEEE TRANSACTIONS ON APPLIED SUPERCONDUCTIVITY, Vol. 3, Nr. 1, S. 1878-1882, (1993).
- [Vrb99] Vrba et al.; "Synthetic Gradiometer Systems for MEG", IEEE TRANSACTIONS ON APPLIED SUPERCONDUCTIVITY, Vol. 9, Nr. 2, S. 4063-4068, (1999).
- [Yok94] Yokosawa et al.; "Design and fabrication of direct-feedback gradiometer: Axial gradiometer made of superconductive films and SQUIDs", Rev. Sci. Instrum., Vol. 85 (12), S. 3814-3819, (1994).
- [Yok01] Yokosawa et al.; "Axial high-temperature superconducting-quantum-interference-device gradiometer composed of magnetometers with a monolithic feedback an compensation coil", Appl. Phys. Lett., Vol. 78, Nr. 18, S. 2745-2747, (2001).
- [Yu10] Yu, Kim, Lee et al.; "Direct measurment of Thermal Noise and Eddy-Current Noise Induced in Metals by Using a 1st-order SQUID Gradiometer", Journal of the Korean Physical Society, Vol. 57, Nr. 6, S. 1721-1726, (2010).
- [Zha06] Zhang et al.; "Foetal magnetocardiography with a multi-channel HTS rf SQUID gradiometer", Supercond. Sci. Technol. 19, S. 266-270, (2006).